

Vers une gestion durable des risques : Comment le risque cyber systémique redéfinit-il les stratégies en assurances ?



Alexandre ANDREINI
Chief Risk Officer
Stoik



Antoine CHANH
Senior Manager
Modeling & Risk P&C
Addactis



Geoffrey BARD
Consultant
Modeling & Risk P&C
Addactis

SOMMAIRE

-  1 Introduction au risque Cyber et contexte actuel
-  2 Modélisation du risque systémique
-  3 Modélisation pratique de l'impact d'un événement systémique
-  4 Application Stoïk
-  5 Conclusion

Introduction au risque Cyber et contexte actuel

Présentation du risque Cyber
Évolution du cadre législatif
Implications pour les assurances

Le risque Cyber



●
DDOS
Sabotage
Atteinte à la réputation

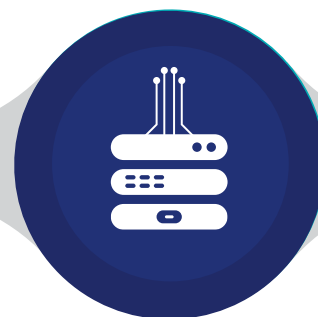


Social engineering



Espionnage

Phishing



●
Perte de Données à
Caractère Personnel
(DCP)

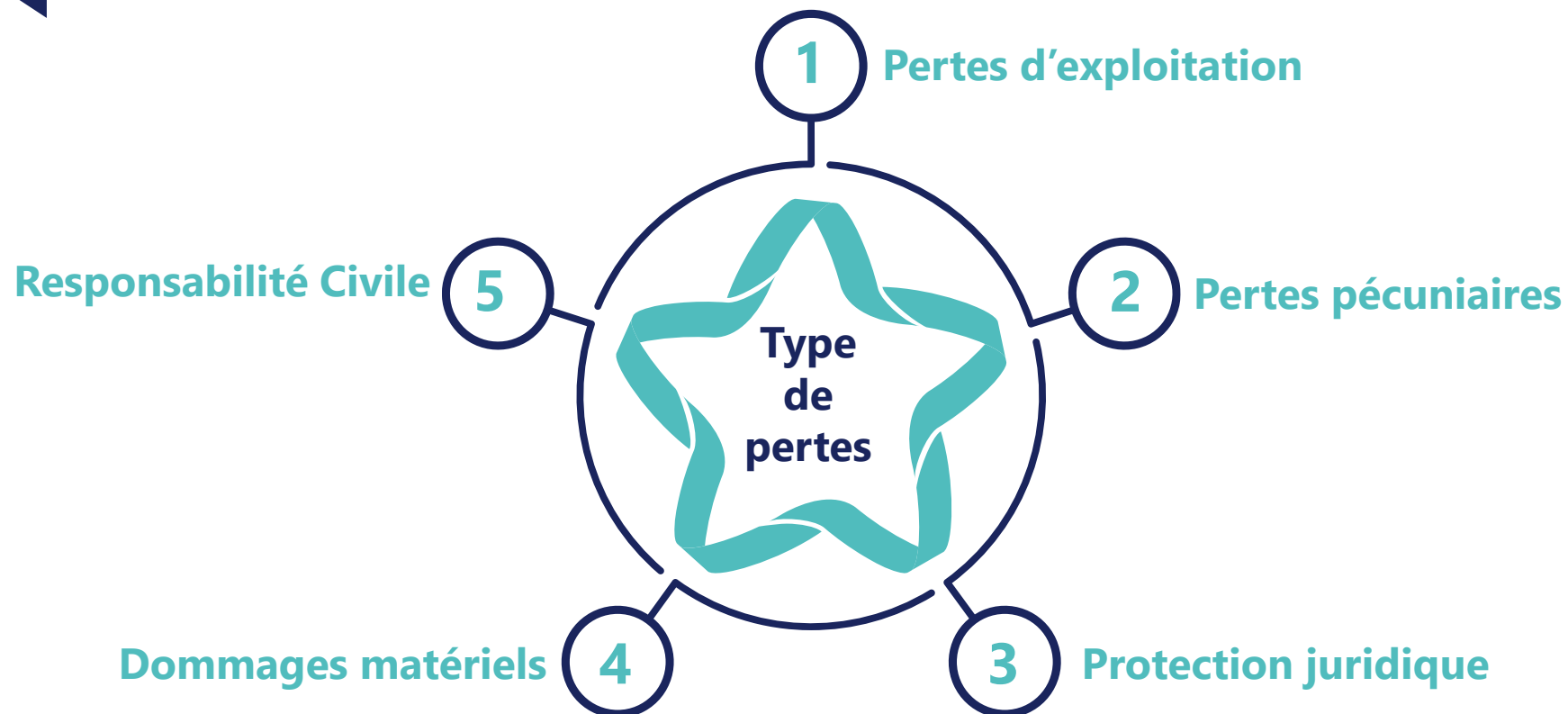
Ransomware



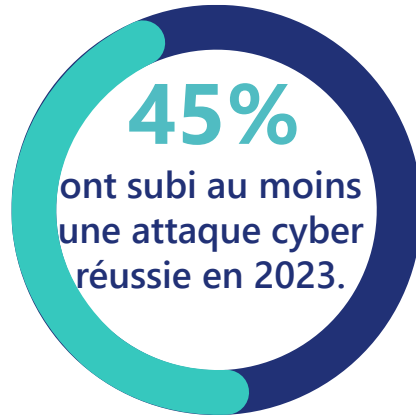
Cyber-extorsion

● Type d'attaque

● Moyen

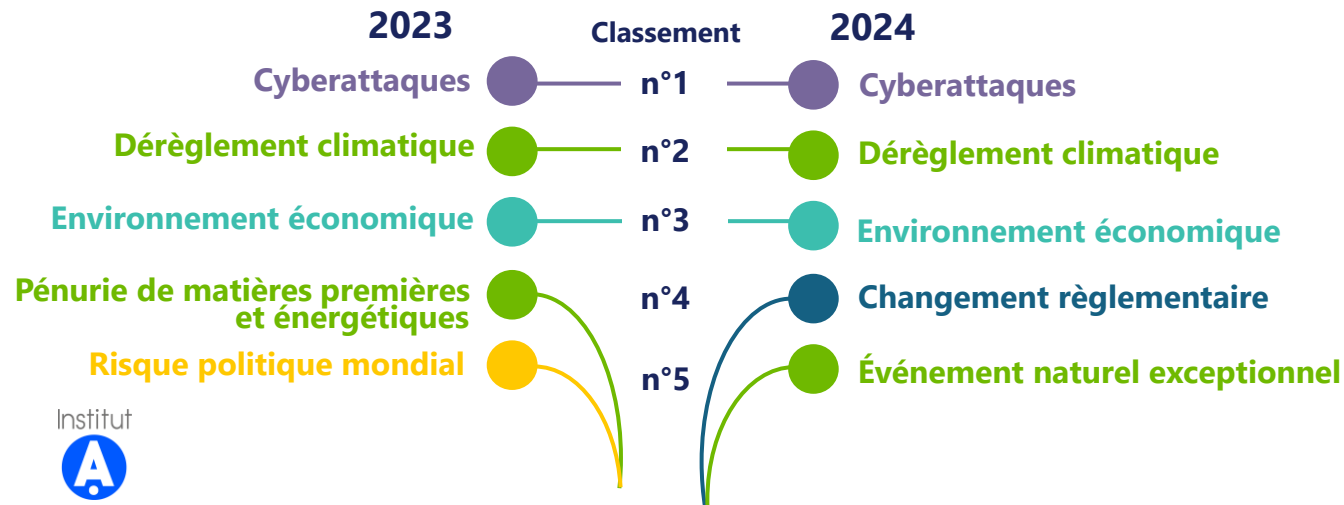


Baromètre France 2023



Enquête réalisée par OpinionWay auprès
de 456 grandes entreprises en 2023

Cartographie des risques de France Assureurs



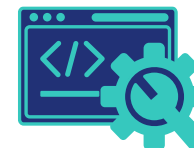
Contexte économique favorable aux attaques



Pression concurrentielle

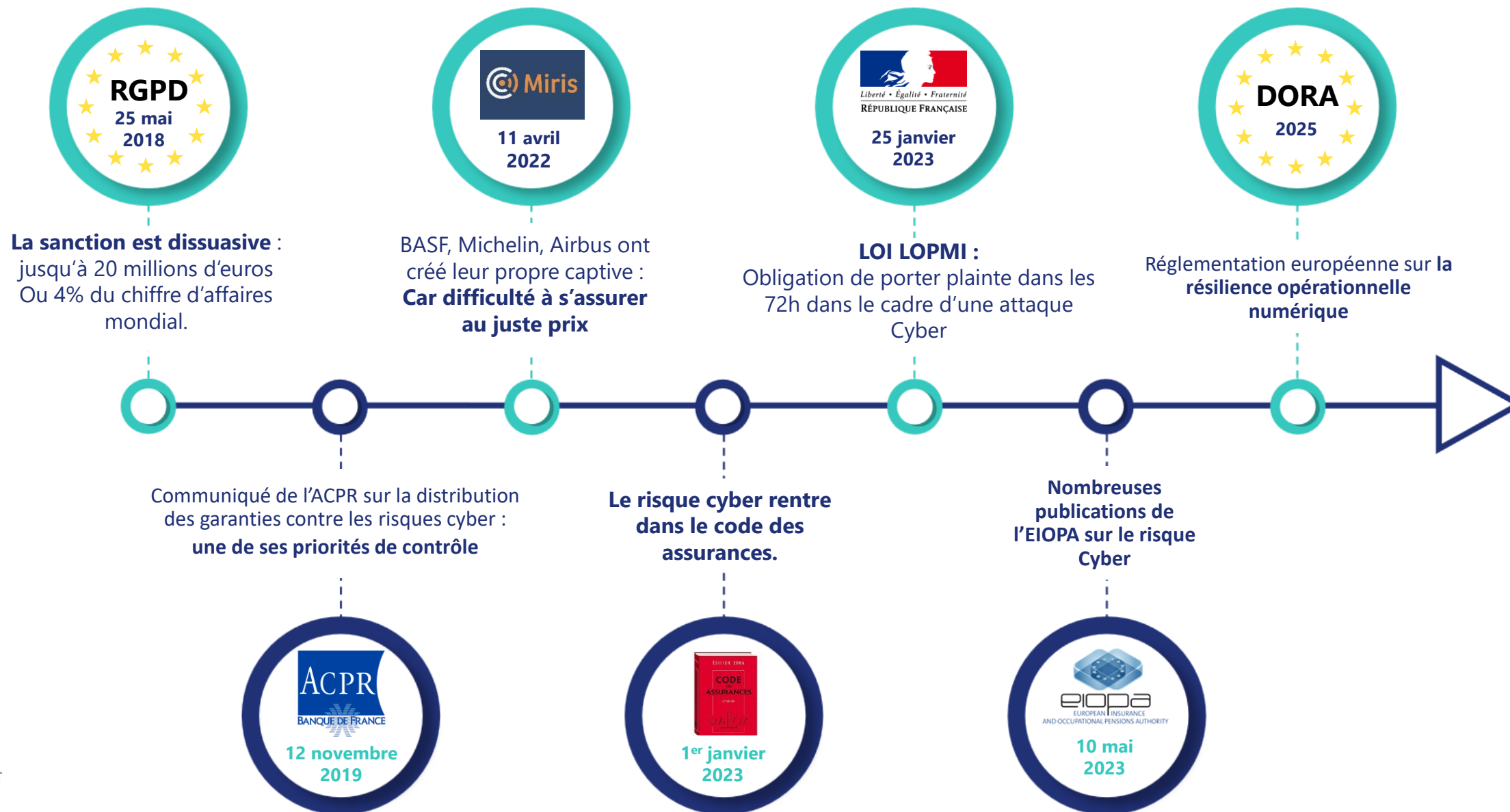


La sécurité est difficile à promouvoir



Un monde de plus en plus interconnecté

Les enjeux réglementaires et actualités

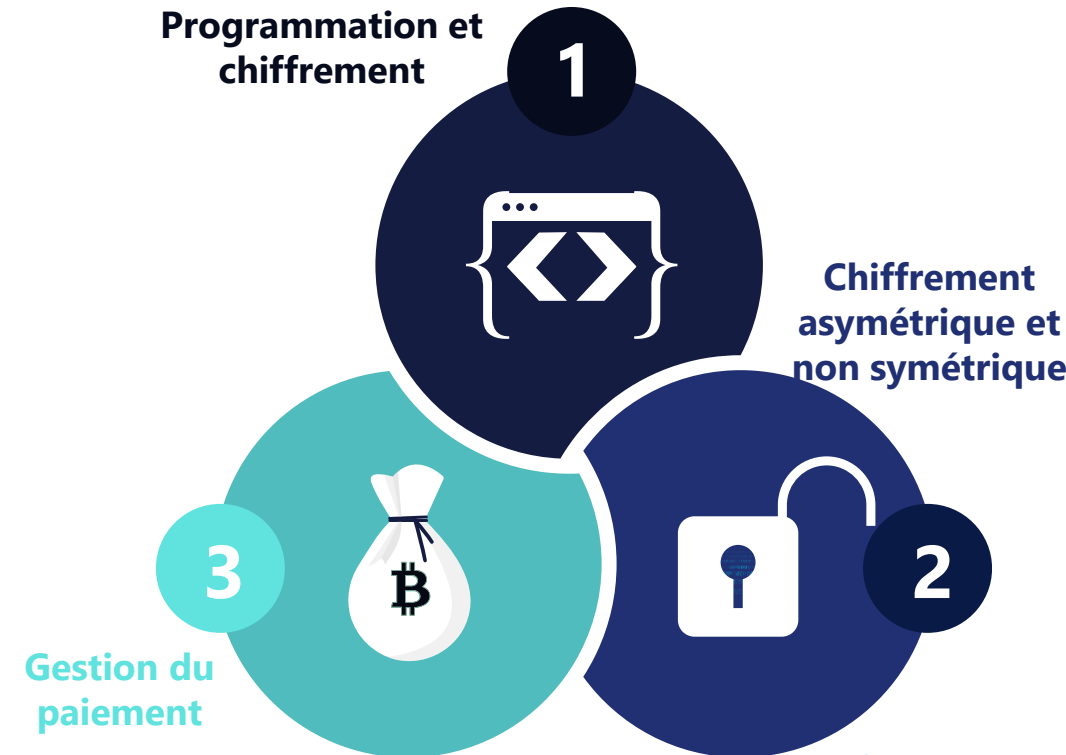
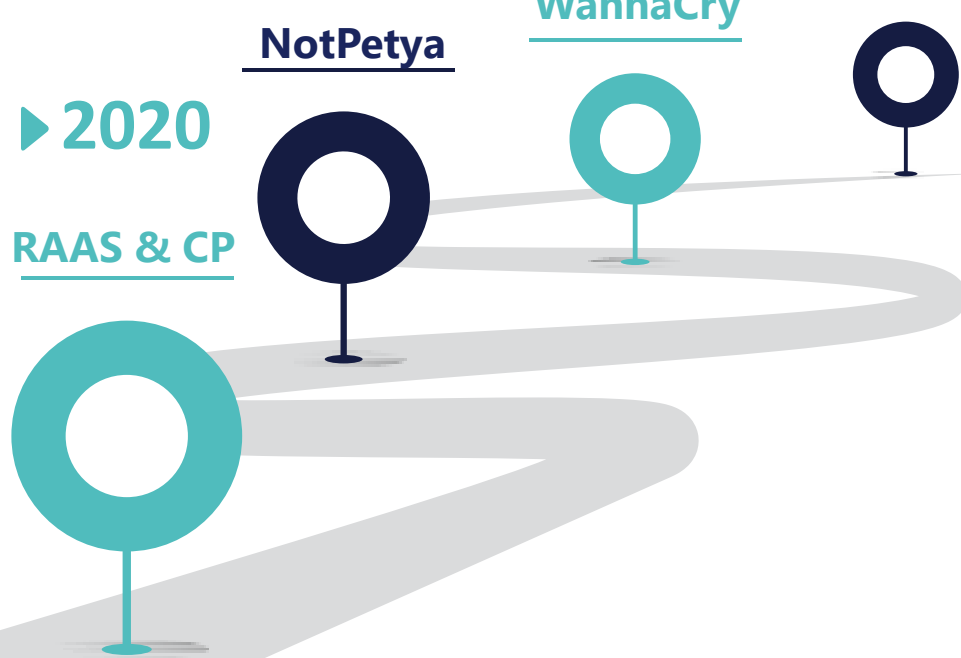
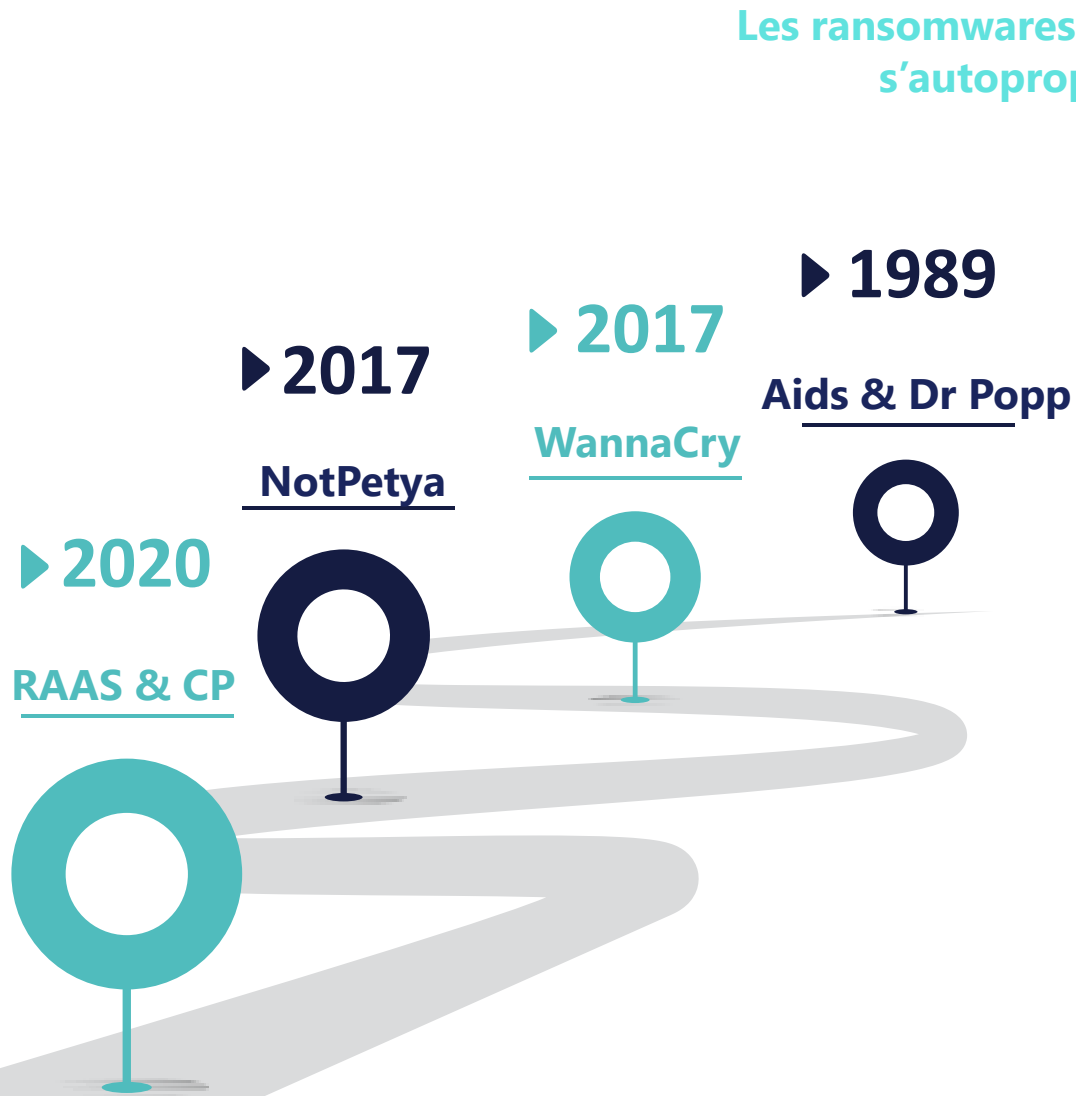


Modélisation du risque systémique

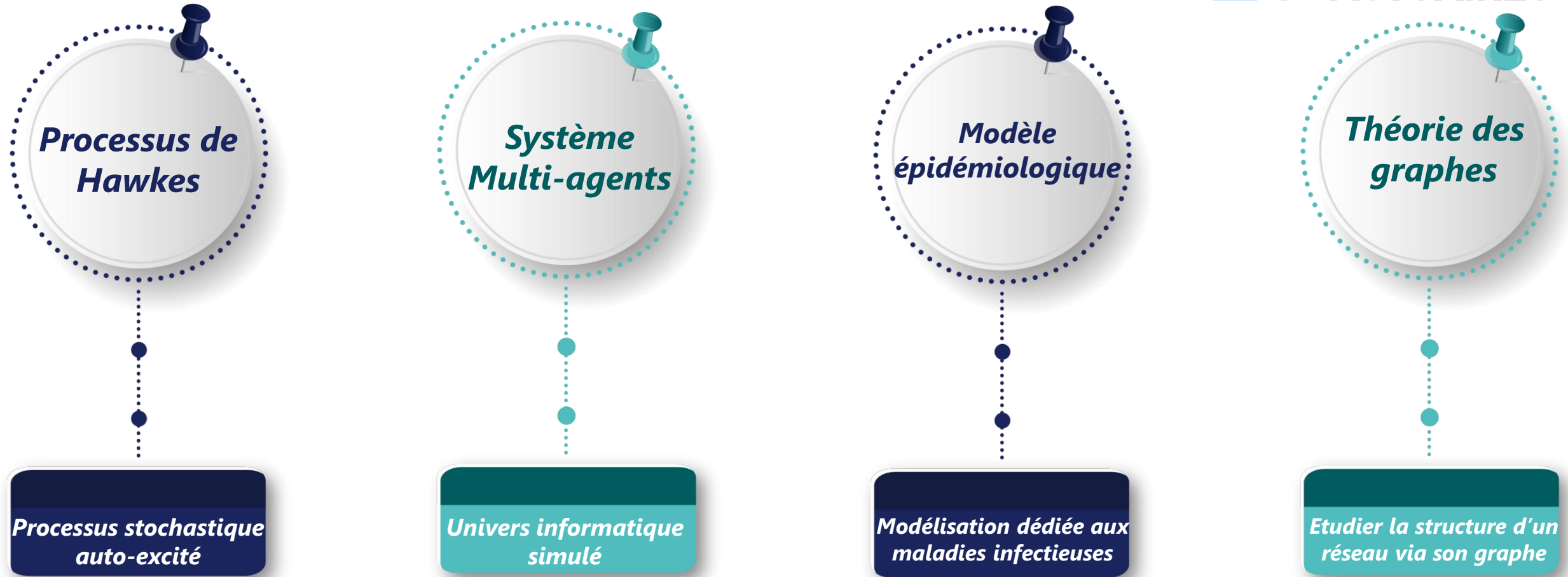
Limites des approches actuarielles classiques

Exploration des structures de dépendances

Application des modèles épidémiologiques et de réseaux épidémiques



Rançongiciel : Choix et justification de la modélisation

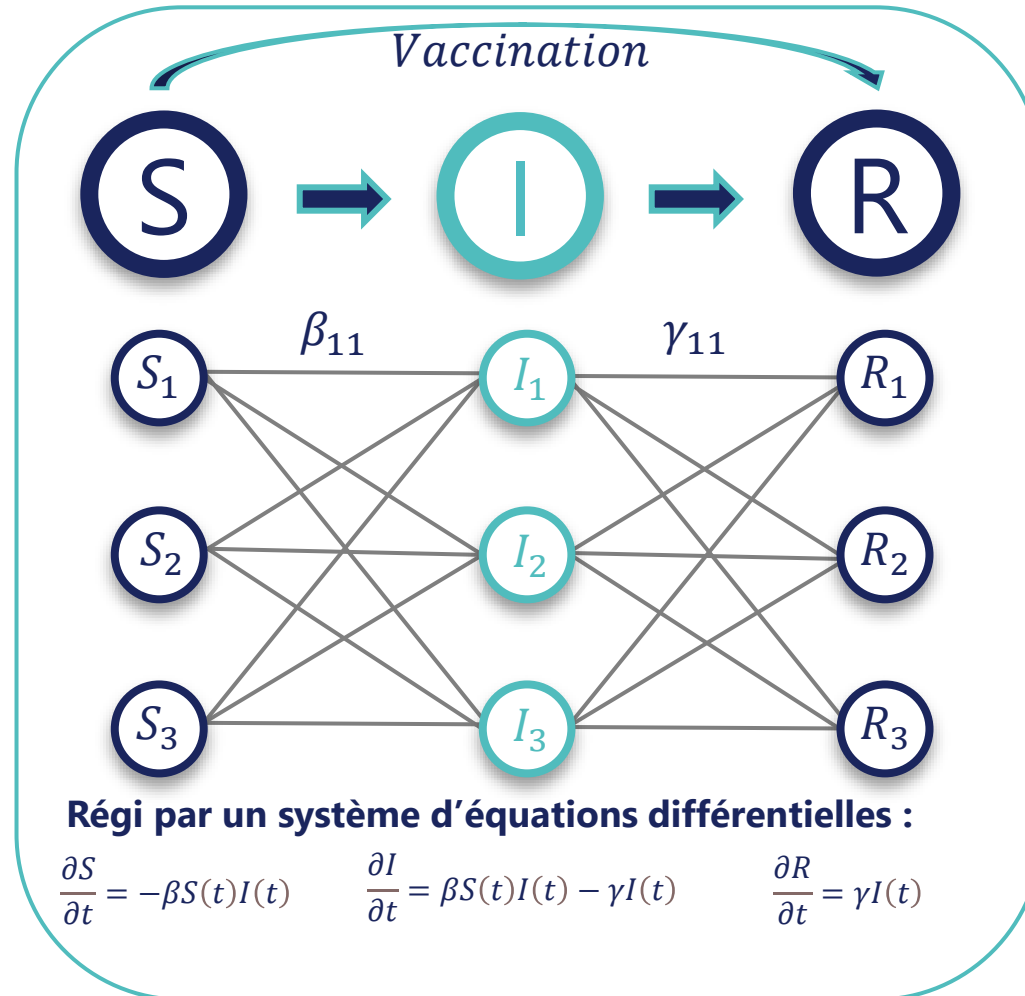


- La **modélisation** est basée sur l'approche du **modèle collectif** mais avec une **structure** de **dépendance** pour identifier les assurés concernés.

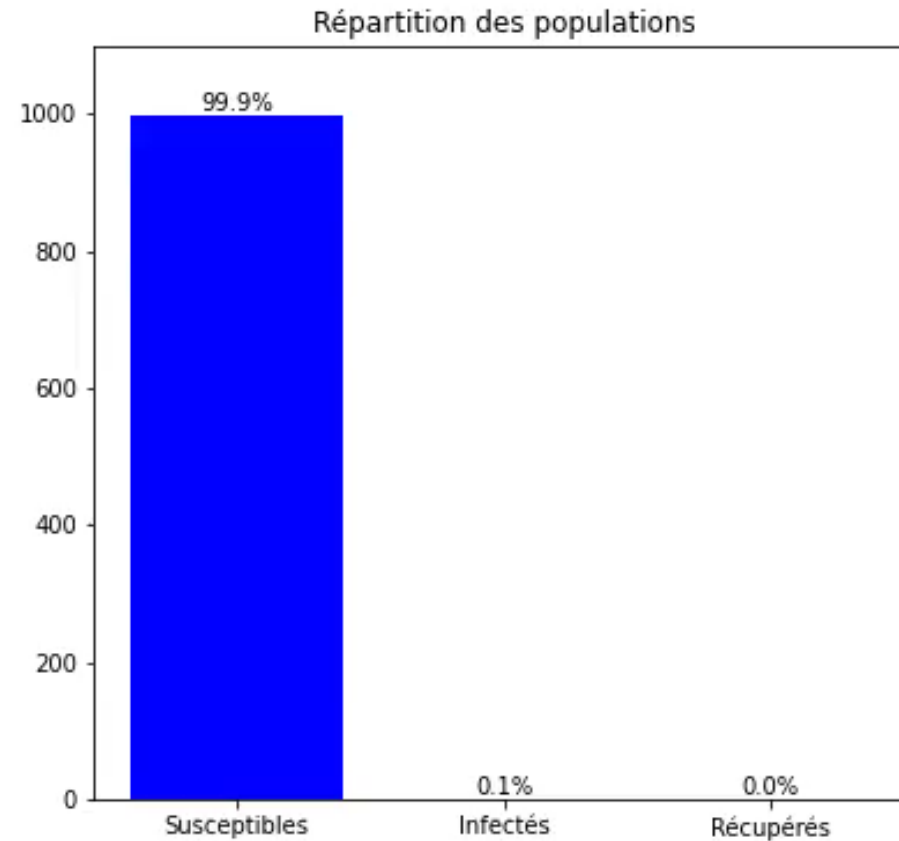
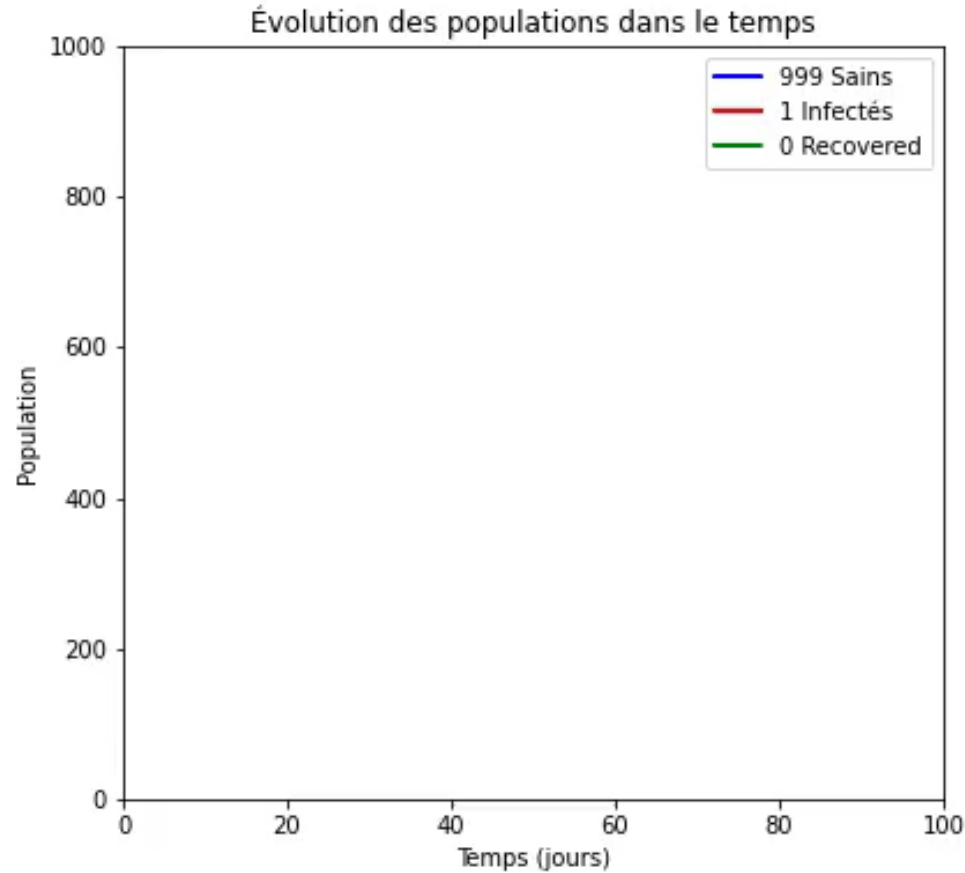
Exemple de modélisation d'un processus de diffusion

Le modèle SIR simple à un modèle SIR multi-groupes

Taux de reproduction $R_0 = \frac{\beta}{\gamma}$



Population Totale: 1000, Beta: 0.3, Gamma: 0.1, R0: 3.0



Mesures, coûts, comportements et variable de durée

Mesures

$$N_t = \sum_{j=1}^n \delta_j \mathbf{1}_{T_j \leq t} \quad : \text{Nombre cumulé d'infectés}$$

$$R_t = \sum_{j=1}^n \delta_j \mathbf{1}_{T_j + U_j \leq t} \quad : \text{Nombre d'infectés guéris avant } t$$

$$J_t = N_t - R_t \quad : \text{Nombre d'infectés à l'instant } t$$

Coûts

$$C_1 = C \lim_{t \rightarrow +\infty} N_t \quad : \text{Coût financier}$$

$$C_2 = \mathbf{1}_{\sup t J_t > K} \quad : \text{Coût de saturation}$$

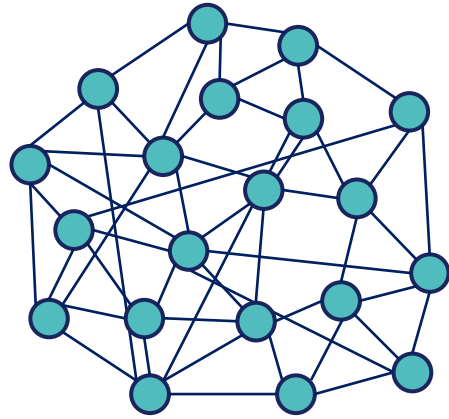
$$C_3 = \int_0^{t_d} \phi\left(\frac{J_t}{n}\right) dt \quad : \text{Coût de capacité}$$

Comportements des assurés :

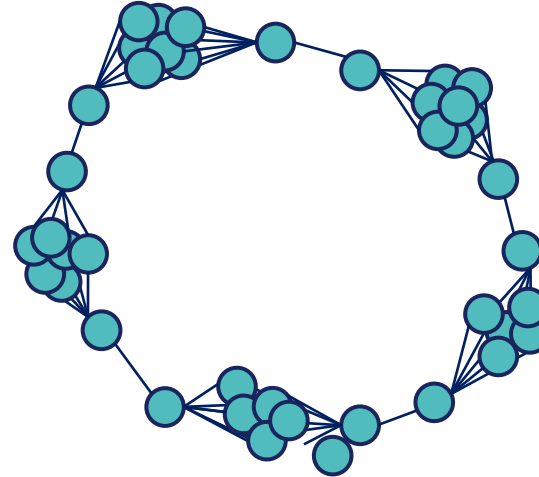
- $\lambda_c^{(1)} = c_1 \mathbf{1}_{t \geq \tau_1}$: Réaction lambda
- $\lambda_2^{(c)} = c_2 \left(t - \tau_2 + \frac{1}{2}\right)^{-\alpha_2} \mathbf{1}_{t \geq \tau_2}$: Réaction qui diminue.
- $\lambda_3^{(c)} = c_3 (t - \tau_3)^{\alpha_3} \mathbf{1}_{t \geq \tau_3}$: Réaction rapide.

Analyse de la topologie du réseau d'un portefeuille d'assurés

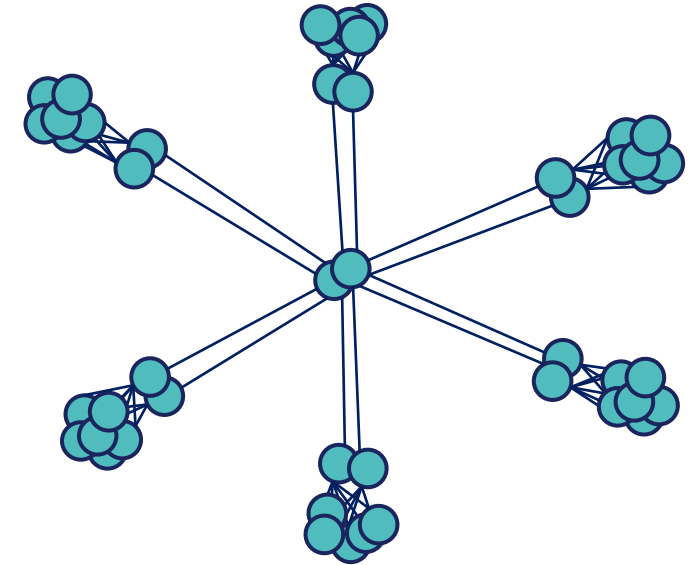
L'analyse spectrale fournit des informations sur la **topologie du réseau** et ses **interactions**



Homogeneous



Clustered



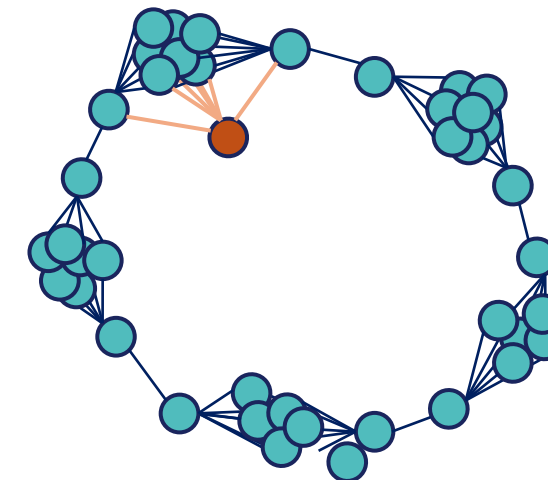
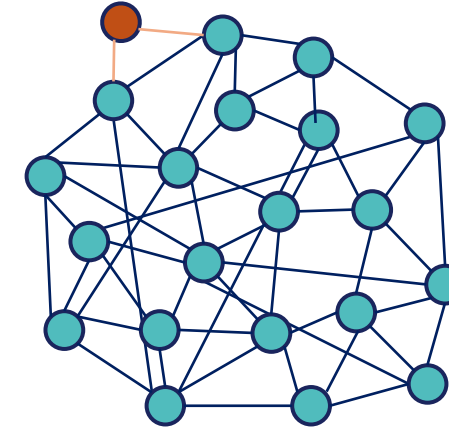
Star

La mesure de dépendance des portefeuilles

- **Objectif** : Montrer que la prime d'un même assuré est différente selon le portefeuille dans lequel il se trouve
- Évaluer la **prime pure** dans une perspective de **tarification**.

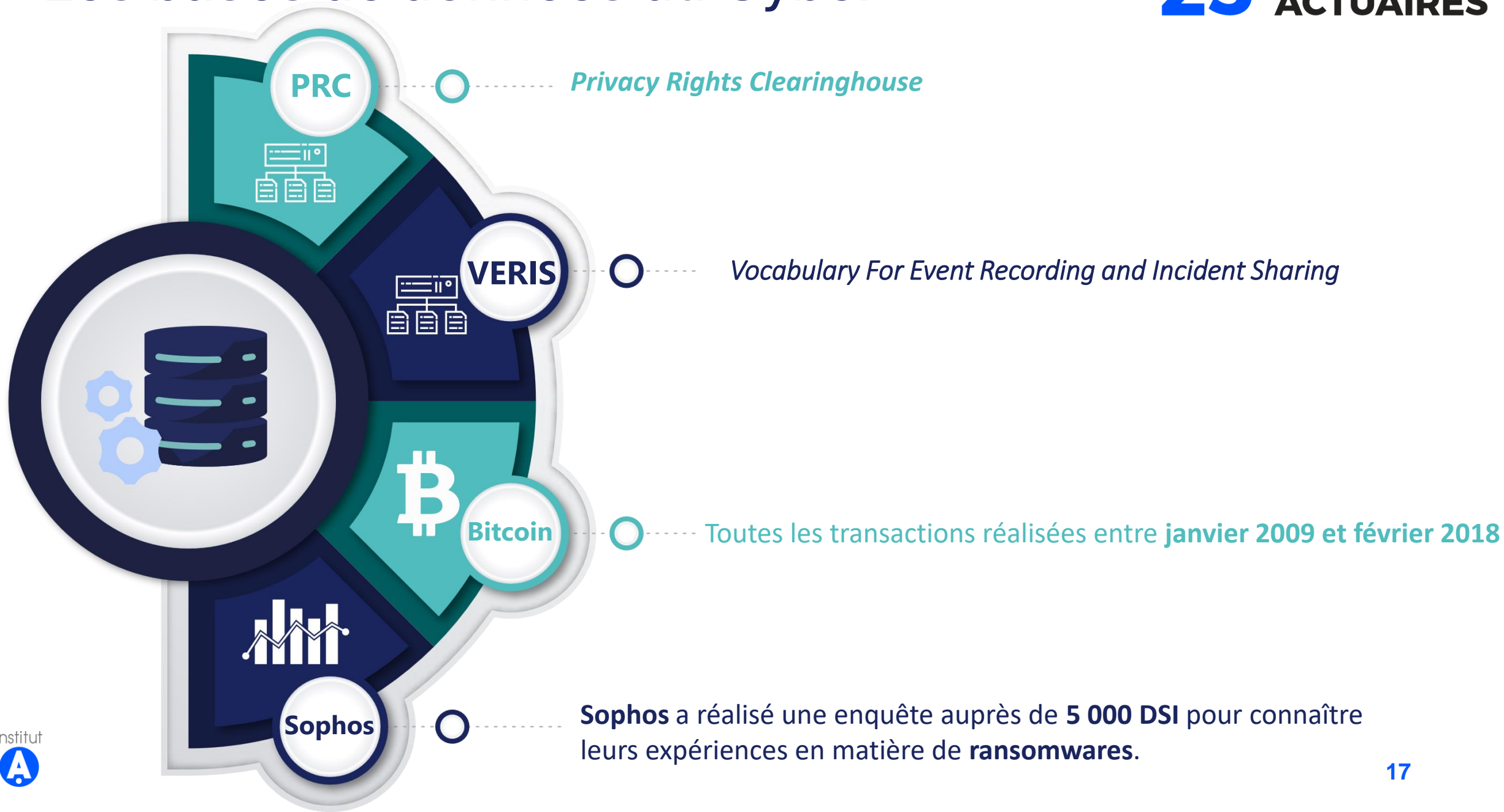
La prime d'un assuré pourrait donc **dépendre** de :

$$\text{Prime Pure} = \alpha_{DCP} \times \beta_{\text{Secteur d'activité}} \times \gamma_{\text{Zone}} \times \text{Mesure de dépendance}$$



● **Nouvel assuré**

Les bases de données du Cyber



PRC

Privacy Rights Clearinghouse

VERIS

Vocabulary For Event Recording and Incident Sharing

Bitcoin

Toutes les transactions réalisées entre janvier 2009 et février 2018

Sophos

Sophos a réalisé une enquête auprès de **5 000 DSI** pour connaître leurs expériences en matière de **ransomwares**.

Calibration des données

- La matrice B est le taux de proximité des secteurs d'activité avec $B' = \beta \times B$
- Le coefficient B_{ij} représente le taux de proximité entre le secteur d'activité n°i et le n°j.

2

Construction de la matrice de proximité des secteurs

$$B = \begin{bmatrix} x & \dots & y \\ \vdots & \ddots & \vdots \\ w & \dots & z \end{bmatrix}$$

- Taille des portefeuilles est de **10000 entreprises**

1. **Portefeuille A** : Il s'agit d'une sous-sélection de la population globale
2. **Portefeuille B** : Représentatif de la proportion des pays, mais secteurs d'activité uniforme.
3. **Portefeuille C** : Sélection choisie minutieusement

4

Création des portefeuilles



1

Paramétrage du taux de transmission et du taux de guérison



$R_0 = 1.04$

- Utilisation du Bitcoin de *WannaCry* pour estimer β
- Le taux de guérison γ est probabilisé selon 3 lois :
 1. **Loi exponentielle** : réaction lente.
 2. **Loi de Weibull** : réaction λ
 3. **Loi Log Normal** : réaction rapide
- Paramètres des lois basés sur le nombre d'entreprises assurées

3

Estimation des coûts



- Définition d'un **coût** pour chaque secteur d'activité
- Définition du **coût pays**.
- **Multiplication** des 2 **coûts** pour obtenir le **coût moyen** de remédiation d'une attaque par rançongiciel.

Simulations et résultats

Scénario

Le **taux de guérison** est celle de la loi exponentielle : les **entreprises réagissent généralement lentement**.

La **durée** de l'épidémie est supposée à **60 jours**

Le **premier infecté** est **unique** (un seul patient zéro) et est **aléatoire**

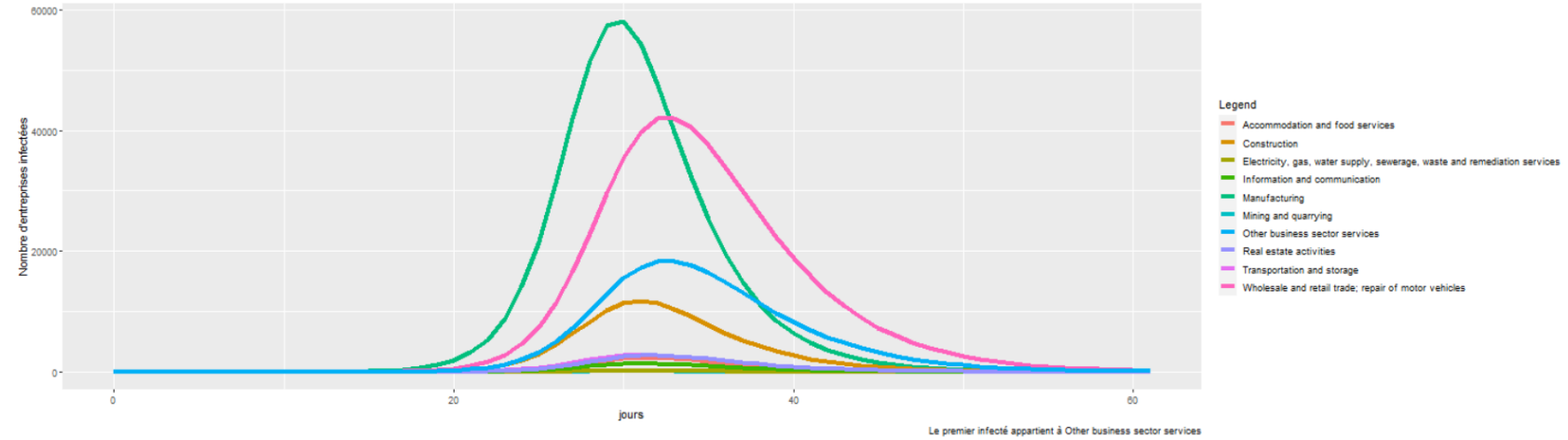


Fig : Évolution du nombre d'entreprises infectées pour chaque secteur d'activités

	Portefeuille A	Portefeuille B	Portefeuille C
Min	0,00 €	0,00 €	0,00 €
Moyenne	1 061,52 €	1 187,39 €	297,12 €
Mediane	1 086,19 €	1 012,82 €	287,50 €
Ecart-type	642,68 €	893,73 €	200,34 €
SCR	1 987,01 €	3 691,04 €	795,05 €
Max	2 160,83 €	5 953,35 €	832,88 €

Fig : Détail des différentes informations en termes de coût totales des sinistres sur les 50000 simulations réalisées. Le coût est exprimé en millions.

Modélisation pratique de l'impact d'un événement systémique

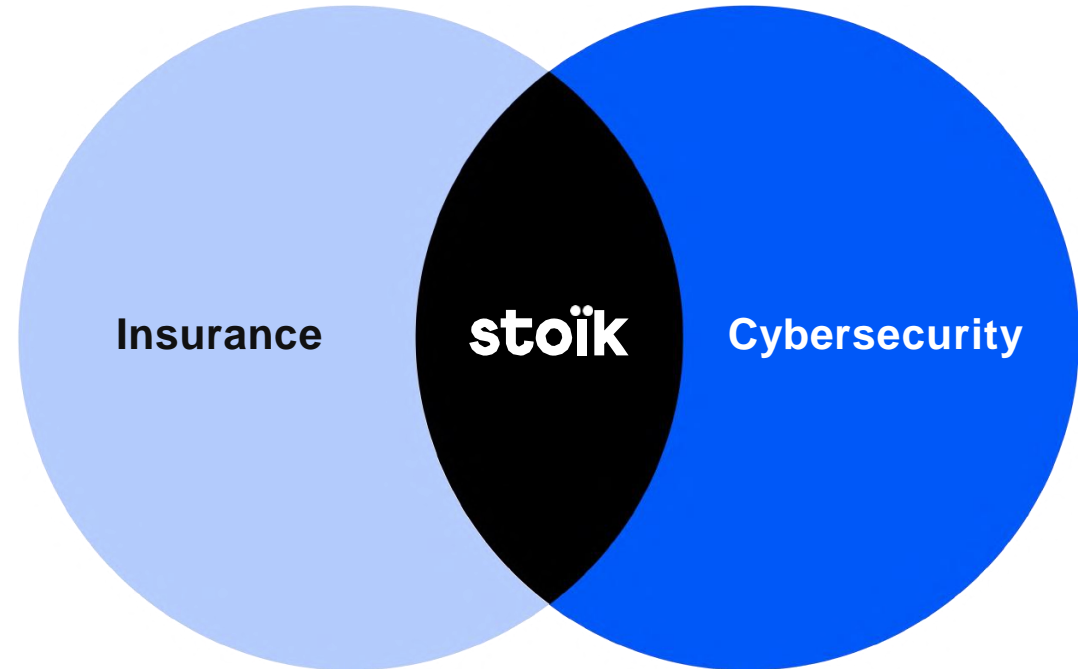
Scan externes et données techniques apportées

Événement systémique lié à une vulnérabilité vs événement systémique lié à un hébergeur partagé

Modélisation de la sévérité pour une entreprise donnée

Calcul de choc sur un portefeuille

Appréhension pratique du risque
systémique



Les sinistres ne sont pas tous indépendants : ils peuvent être corrélés entre eux.



Les **entreprises d'hébergement** ou les **MSP** peuvent héberger ou avoir accès aux SI de nombreuses entreprises.



Une **vulnérabilité systémique** affectant plusieurs entreprises en même temps (même cyberattaquant ou non).

Technologies largement répandues

Certaines technologies peuvent être partagées par de nombreux assurés (OS, VPN, E-commerce).

Fréquemment, une vulnérabilité critique impacte l'une de ces technologies.

Exemples : NotPetya, ESXI (23), Citrix (23), Fortinet (23), PaloAlto (24).

Technologie	Assurés concernés
Citrix	>40
Fortinet	>176
Wordpress	>625

Spécificités

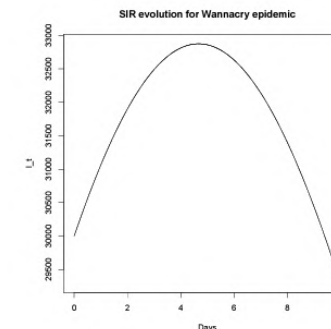
- Patch ou mesures de limitation du risque disponibles quelques heures la parution
- Contamination rapide (généralement 1 ou 2 jours avant d'atteindre son plein).
- Des vulnérabilités passées peuvent être exploitées de manière massive bien après leur publication (ESXiArgs, NotPetya).

Timeline WannaCry / NotPetya

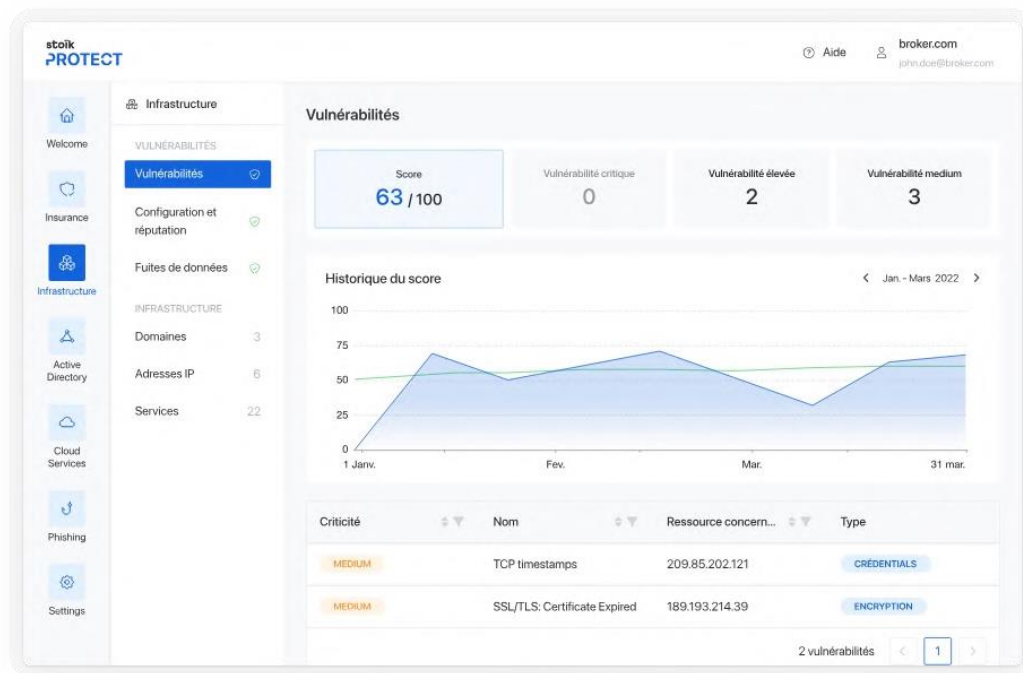
- Microsoft a publié un correctif pour la vulnérabilité EternalBlue en mars 2017.
- Le 12 mai 2017 : Les premiers signes de WannaCry sont apparus en Asie vers 07h00 UTC. En une journée, plus de 200 000 ordinateurs dans 150 pays ont été détruits par le ransomware. La rançon demandée était de 300 €.
- Le 13 mai 2017 : Nouvelle mise à jour de sécurité pour Windows XP, Windows 8 et Windows Server 2003.
- NotPetya commence le 27 juin et avait impacté au moins 2 000 organisations au 28 juin 2017, avec des conséquences financières plus élevées.

Vue CERT et différences par rapport à aujourd'hui

- Equipes CERT furent débordées. Priorité accordée aux entreprises ayant un abonnement CERT.
- Depuis, renforcement des relations entre CERT qui entrainerait une meilleure communication, le partage d'loC et de l'investigation commune.



Scan externe & calcul de choc



Un audit hebdomadaire de la surface externe du système d'information lancé automatiquement pour détecter les failles de sécurité et les technologies utilisées

domaines → sous-domaines → ip → services + vulnérabilités

	Limit (M€)	Estimated Loss (M€)
techno		
openvpn	2.25	0.009805
sonicwall-sslvpn-panel	5.50	0.061668
citrix-vpn-detect	3.50	0.112586
ciscovpn	5.10	0.598197
microsoft-exchange	104.35	1.920781
drupal-detect	44.00	2.386368
fortinet-fortigate	64.85	2.568296
cpe:o:microsoft:windows	350.45	10.211999
Pure-FTPd	404.50	10.754185
wordpress-detect	445.55	12.577808
OpenSSH	678.10	18.026508

Application Stoïk

Comment réduire ce risque et limiter l'exposition du portefeuille ?

Procédure de notification
Biaiser le portefeuille par le pricing
Priorisation des incidents

1 Sous-limitation du transfert de risque

Mauvaise visibilité côté assuré : son indemnisation dépend de si d'autres entreprises sont touchées. Les vulnérabilités étant globalement utilisées contre plusieurs entreprises, les modalités de prise en charge ne sont pas claires.

2 Notification proactive et priorisation

- Notification des vulnérabilités et aide à la mise en place des patches.
- Priorisation des incidents par sévérité

Intérêts et inconvénients de l'approche

- Bonne visibilité côté assuré sur la couverture en cas d'incident.
- Pertinence dépend de la bonne réactivité des assurés.

Conclusion